

Algorithmen für Routenplanung – Vorlesung 2

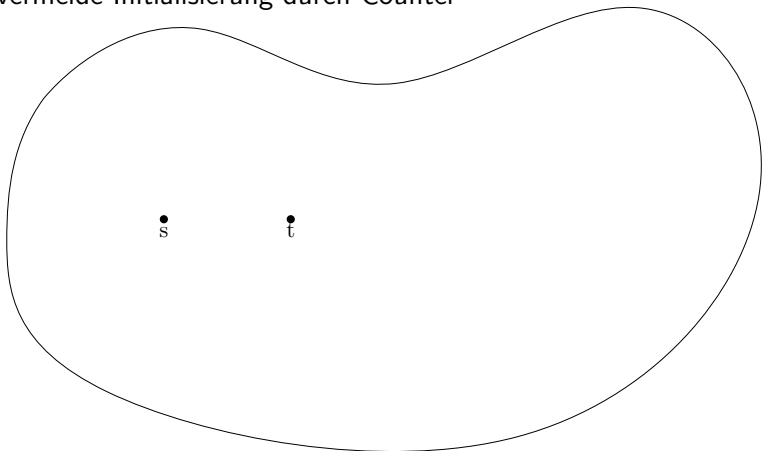
Daniel Delling

Lehrstuhl für Algorithmik I
Institut für theoretische Informatik
Universität Karlsruhe (TH)
Forschungsuniversität · gegründet 1825

2. Beschleunigungstechniken

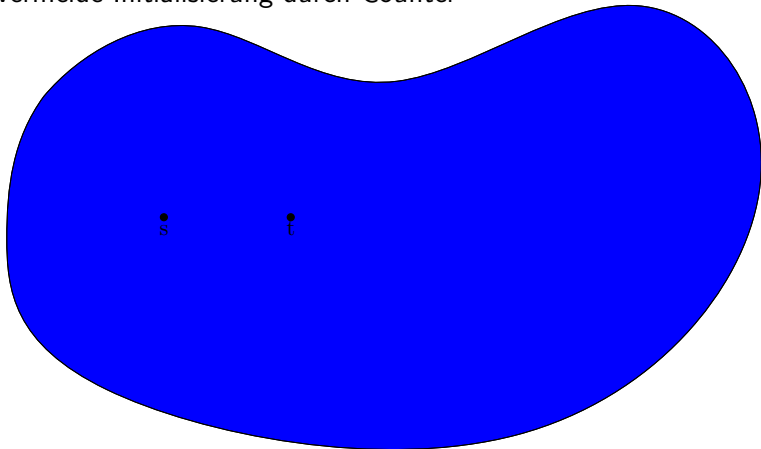
Letztes Mal

- » breche Suche ab, sobald Ziel abgearbeitet worden ist
- » vermeide Initialisierung durch Counter



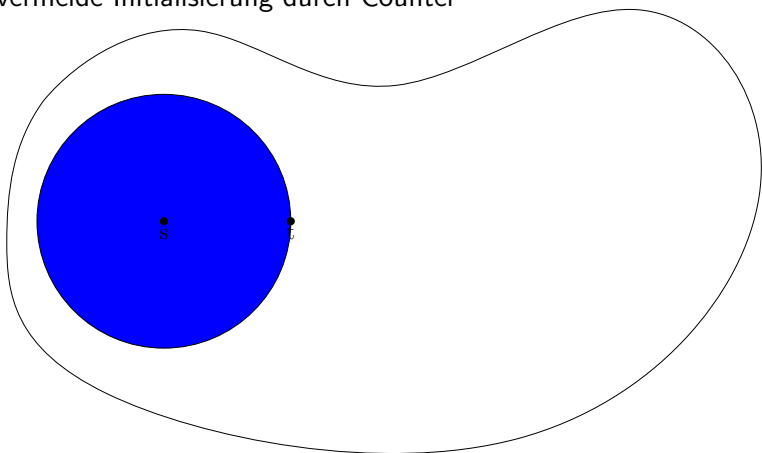
Letztes Mal

- » breche Suche ab, sobald Ziel abgearbeitet worden ist
- » vermeide Initialisierung durch Counter



Letztes Mal

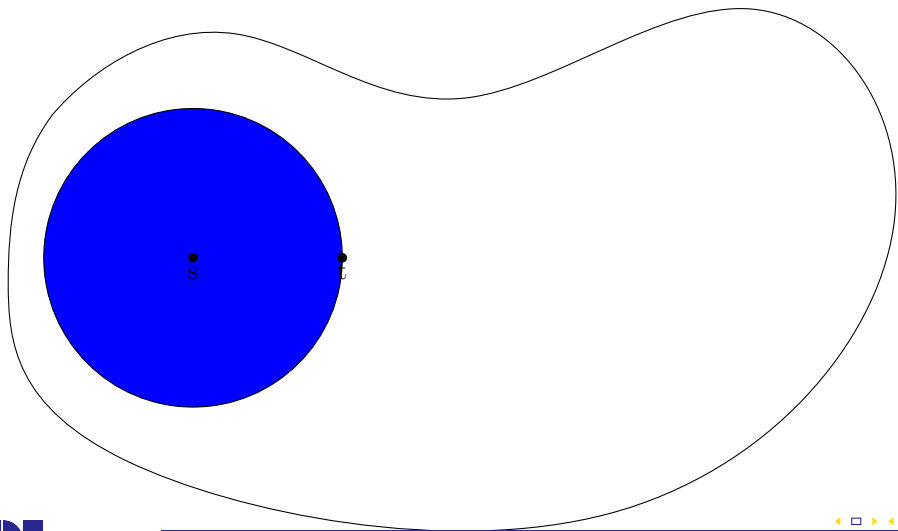
- » breche Suche ab, sobald Ziel abgearbeitet worden ist
- » vermeide Initialisierung durch Counter



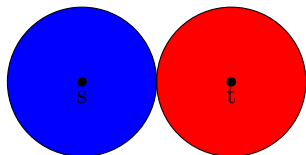
Themen Heute

- » bidirektionale Suche
- » A* Suche
- » A* mit Landmarken
- » bidirektionale A* Suche

Bidirektionale Suche



Bidirektionale Suche



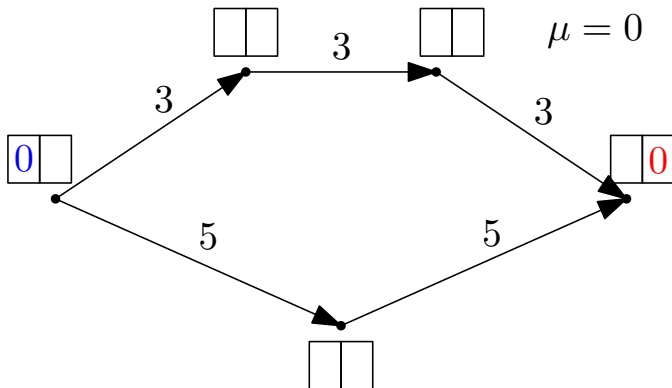
Idee:

- » starte zweite Suche von t
- » relaxiere rückwärtse nur eingehende Kanten
- » stoppe die Suche, wenn beide Suchräume sich treffen

Bidirektionale Suche

Anfrage:

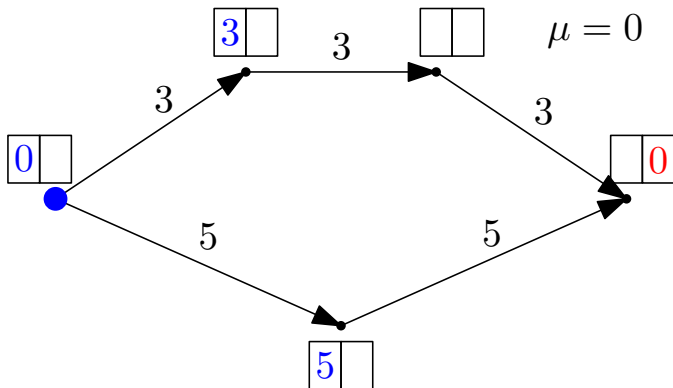
- » alterniere Vorwärts- und Rückwärtsuche
 - » vorwärts: relaxiere ausgehende Kanten
 - » rückwärts: relaxiere eingehende Kanten



Bidirektionale Suche

Anfrage:

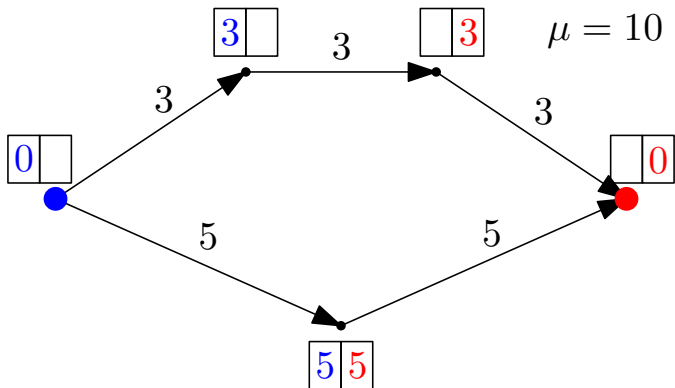
- » alterniere Vorwärts- und Rückwärtsuche
 - » vorwärts: relaxiere ausgehende Kanten
 - » rückwärts: relaxiere eingehende Kanten



Bidirektionale Suche

Anfrage:

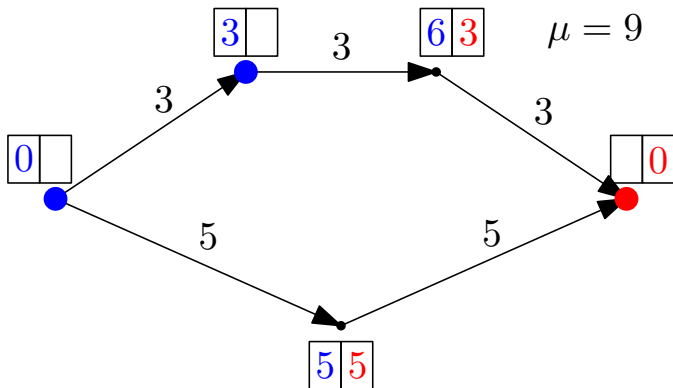
- » alterniere Vorwärts- und Rückwärtsuche
 - » vorwärts: relaxiere ausgehende Kanten
 - » rückwärts: relaxiere eingehende Kanten



Bidirektionale Suche

Anfrage:

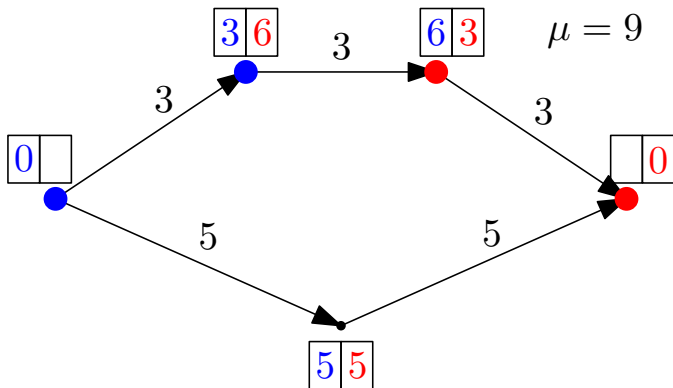
- » alterniere Vorwärts- und Rückwärtsuche
 - » vorwärts: relaxiere ausgehende Kanten
 - » rückwärts: relaxiere eingehende Kanten



Bidirektionale Suche

Anfrage:

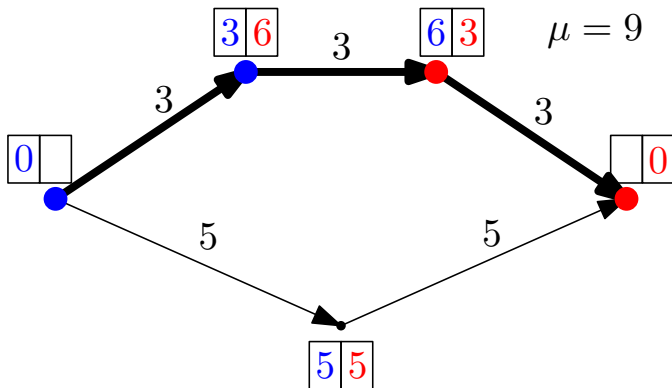
- » alterniere Vorwärts- und Rückwärtsuche
 - » vorwärts: relaxiere ausgehende Kanten
 - » rückwärts: relaxiere eingehende Kanten



Bidirektionale Suche

Anfrage:

- » alterniere Vorwärts- und Rückwärtsuche
 - » vorwärts: relaxiere ausgehende Kanten
 - » rückwärts: relaxiere eingehende Kanten



Bidirektionale Suche

Anfrage:

- » alterniere Vorwärts- und Rückwärtsuche
 - » vorwärts: relaxiere ausgehende Kanten
 - » rückwärts: relaxiere eingehende Kanten
- » μ : vorläufiges $d(s, t)$
- » bei relax checken, ob Knoten von anderer Suche schon besucht
 - » wenn ja: $d(s, t) = \mu, M = v$
- » stoppe wenn $\mu < \minKey(\vec{Q}) + \minKey(\overleftarrow{Q})$
- » kürzester Weg: (s, \dots, M, \dots, t)

Bidirektionale Suche: Korrektheit

Korrektheit

Bidirektionale Suche (BS) ist korrekt

- » BS terminiert spätestens wenn beide Queues leer sind
- » wenn $\mu > d(s, t)$ nach Terminierung dann
 - » gibt es einen s - t Pfad P der kürzer als μ ist
 - » auf P gibt es eine Kante (u, v) mit $d(s, u) < \minKey(\vec{Q})$ und $d(v, t) < \minKey(\overleftarrow{Q})$.
 - » also müssen u und v schon abgearbeitet worden sein (o.B.d.A. u vor v)
 - » beim relaxieren von (u, v) wäre P entdeckt worden und μ aktualisiert
- » $\mu < d(s, t)$: Widerspruch
- » somit korrekt

Strategie zum Wechsel der Suchen

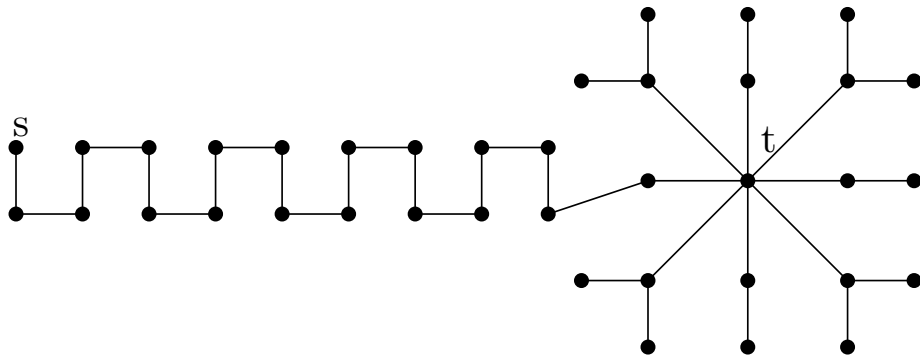
Beobachtung:

- » jede Art der Abwechslung klappt

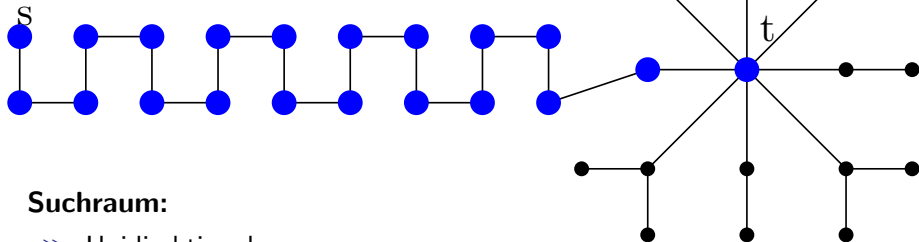
“sinnvolle” Strategien:

- » streng alternierend
- » wähle $\min\{\minKey(\vec{Q}), \minKey(\overleftarrow{Q})\}$
- » wähle $\min\{|\vec{Q}|, |\overleftarrow{Q}|\}$

Worst-Case



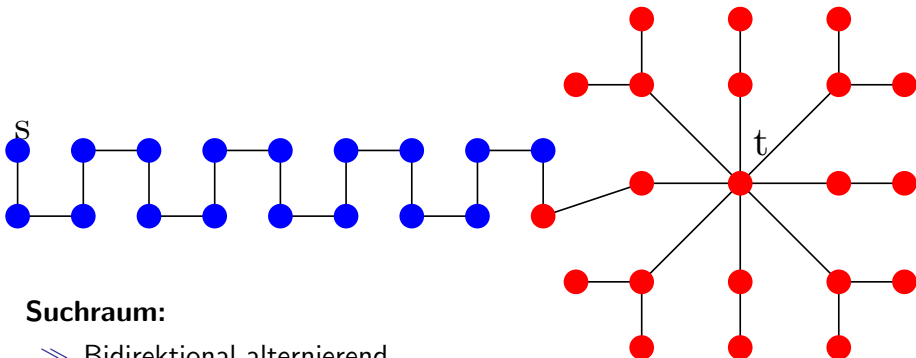
Worst-Case



Suchraum:

» Unidirektional

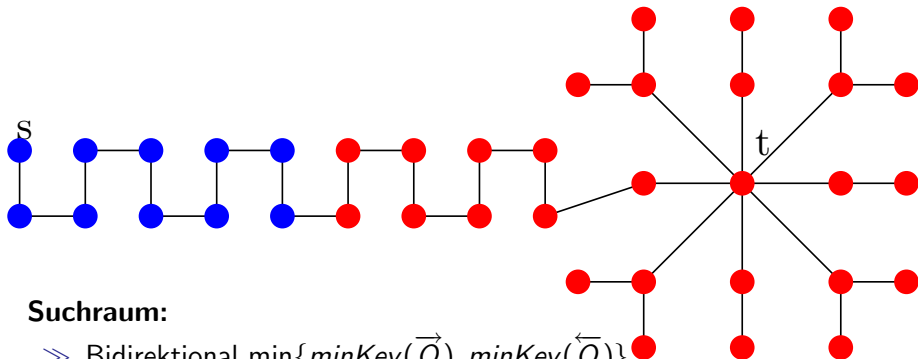
Worst-Case



Suchraum:

- » Bidirektional alternierend
- » Suchraum vergrößert sich

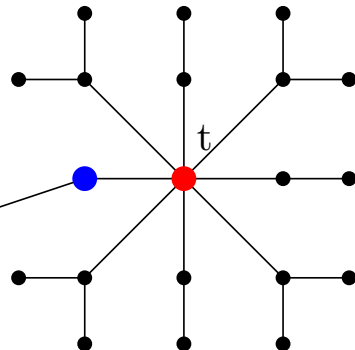
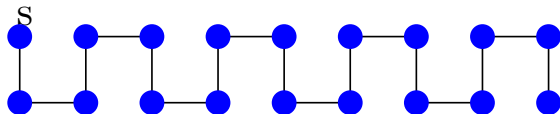
Worst-Case



Suchraum:

- » Bidirektional $\min\{minKey(\vec{Q}), minKey(\overleftarrow{Q})\}$
- » Suchraum vergrößert sich

Worst-Case



Suchraum:

- » Bidirektional $\min\{|\vec{Q}|, |\overleftarrow{Q}|\}$
- » Suchraum bleibt gleich

Best-Case

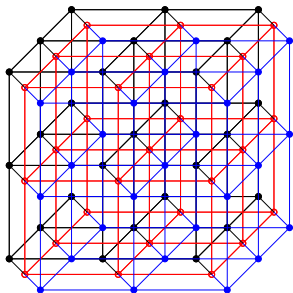
Eingabe:

- » k -dimensionales Gitter
- » Suchraum unidirektional: $(2 \cdot d(s, t))^k$
- » Suchraum bidirektional: $2 \cdot d(s, t)^k$

Somit Beschleunigung:

$$\frac{(2 \cdot d(s, t))^k}{2 \cdot d(s, t)^k} = 2^{k-1}$$

also exponentielle Beschleunigung!



Straßennetzwerke

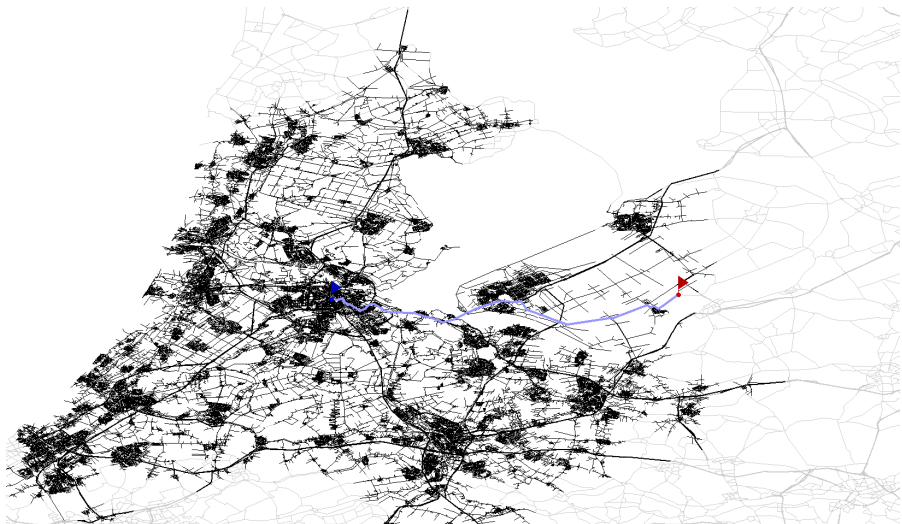
In Straßennetzen:

- » Zur Erinnerung: fast planar
- » Suchraum unidirektional: $(\pi \cdot d(s, t))^2$
- » Suchraum bidirektional: $2 \cdot (\pi/2 \cdot d(s, t))^2$

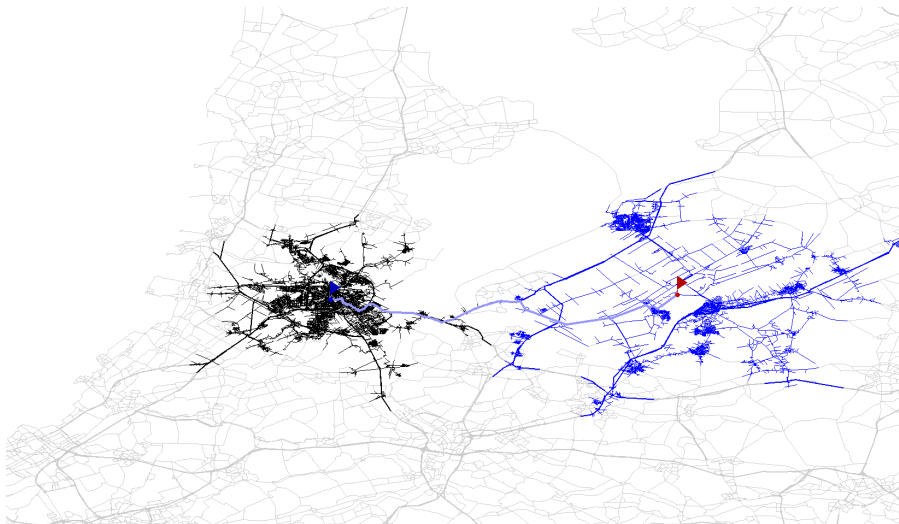
Somit Beschleunigung:

$$\frac{(\pi \cdot d(s, t))^2}{2 \cdot (\frac{\pi}{2} \cdot d(s, t))^2} = 2$$

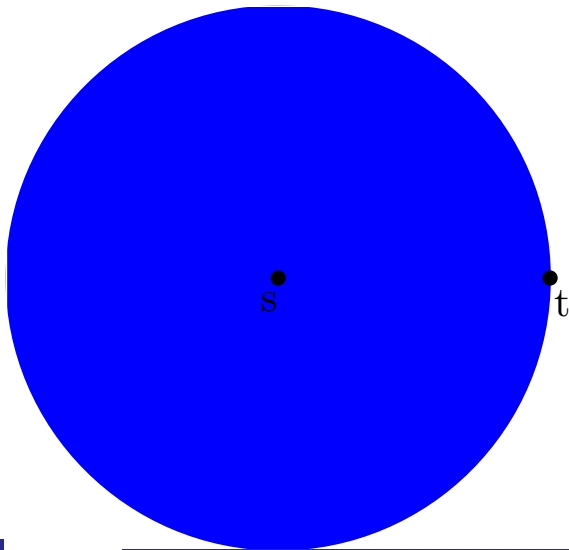
Beispiel



Beispiel



Schematischer Suchraum



Schematischer Suchraum



Ideensammlung

Wie Suche zielgerichtet machen?

- » prunen von Kanten, Knoten die in die “falsche” Richtung liegen
- » Reihenfolge in der Knoten besucht werden ändern

heute letzteres

A*

Idee:

- » berechne Potential $\pi : V \rightarrow \mathbb{R}$ mit
 - » $\pi(u) \leq \text{len}(u, v) + \pi(v)$ für alle $(u, v) \in E$
- » während der Anfrage: nutze $d[u] + \pi(u)$ als key

Dijkstra - PseudoCode

DIJKSTRA($G = (V, E), s$)

```
1  $d[s] = 0$ 
2  $Q.clear(), Q.add(s, 0)$ 
3 while ! $Q.empty()$  do
4    $u \leftarrow Q.deleteMin()$ 
5   for all edges  $e = (u, v) \in E$  do
6     if  $d[u] + len(e) < d[v]$  then
7        $d[v] \leftarrow d[u] + len(e)$ 
8       if  $v \in Q$  then  $Q.decreaseKey(v, d[v])$ 
9       else  $Q.insert(v, d[v])$ 
```

A^* - Pseudocode

 $A^*(G = (V, E), s)$

```
1  $d[s] = 0$ 
2  $Q.clear(), Q.add(s, \pi(s))$ 
3 while  $!Q.empty()$  do
4    $u \leftarrow Q.deleteMin()$ 
5   for all edges  $e = (u, v) \in E$  do
6     if  $d[u] + len(e) < d[v]$  then
7        $d[v] \leftarrow d[u] + len(e)$ 
8       if  $v \in Q$  then  $Q.decreaseKey(v, d[v] + \pi(v))$ 
9       else  $Q.insert(v, d[v] + \pi(v))$ 
```

A^* : Beobachtungen

- » Knoten werden in anderer Reihenfolge abgearbeitet
 - » Dijkstra: u vor v wenn $d[u] < d[v]$
 - » A^* : u vor v wenn $d[u] + \pi(u) < d[v] + \pi(v)$
 - » $\pi \equiv 0$ dann gleicher Suchraum
- » Abbruchkriterium bleibt erhalten

A^* : Korrektheit

Korrektheit

A^* ist korrekt

- » neue Längenfunktion $len_{\pi}(u, v) = len(u, v) - \pi(u) + \pi(v)$
- » wenn wir len durch len_{π} ersetzen
 - » die Länge aller Pfade zwischen s und t ändern sich um den gleichen Wert $\pi(t) - \pi(s)$
 - » also bleiben kürzeste Wege erhalten
 - » $d_{\pi}(s, u) = d(s, u) - \pi(s) + \pi(u)$
 - » Reihenfolge der besuchten Knoten von Dijkstra in G_{π} entspricht der von A^* in G , da $\pi(s)$ gleich für alle Knoten
 - » A^* korrekt wenn $len_{\pi}(u, v) \geq 0$ für alle $(u, v) \in E$
 - » folgt aus $\pi(u) \leq len(u, v) + \pi(v)$
 - » nennt man ein gültiges Potential

Gültige Potentiale: Eigenschaften I

wenn $\pi(u) = d(u, t)$, dann

- » gilt für alle Kanten (u_i, u_{i+1}) auf einem kürzestem Weg von s nach t : $len_\pi(u_i, u_{i+1}) = 0$ und $len_\pi(u, v) > 0$ für alle andere Kanten (u, v)
- » werden also nur Knoten auf dem kürzestem Weg angeschaut (sofern Wege eindeutig)
- » also: je besser die untere Schranke, desto höher die Beschleunigung

Gültige Potentiale: Eigenschaften II

Kombinierbarkeit von Potentialen

Seien π_1 und π_2 gültige Potentiale. Dann ist $p = \max\{\pi_1, \pi_2\}$ auch ein gültiges Potential.

- » $len(u, v) - \pi_1(u) + \pi_1(v) \geq 0$ und $len(u, v) - \pi_1(u) + \pi_1(v) \geq 0$
- » Sei $\pi_1(u) \geq \pi_2(v)$, anderer Fall symmetrisch
 - » wenn $\pi_1(v) \geq \pi_2(v)$, dann

$$len(u, v) - p(u) + p(v) = len(u, v) - \pi_1(u) + \pi_1(v) \geq 0$$
 - » sonst $len(u, v) - p(u) + p(v) = len(u, v) - \pi_1(u) + \pi_2(v) \geq len(u, v) - \pi_1(u) + \pi_1(v) \geq 0$

Anmerkungen:

- » gilt auch für Minimum und jede beliebige (konvexe) Linearkombination
- » wir können also für jede $s-t$ Anfrage ein eigenes Potential wählen

Gültige Potentiale: Eigenschaften III

wenn $\pi(t) = 0$, dann

- » $\pi(u) > d(u, t)$ für alle $u \in V$
- » ist $\pi(u)$ eine untere Schranke für $d(u, t)$
- » $\pi(u)$ schätzt den Abstand von u nach t
- » A^* besucht Knoten in aufsteigendem “erwarteten Abstand”
- » jede Abschätzung $d(u, t)$ ist ein gültiges Potential

Euklidisches Potential

Idee:

- » Knoten haben natürliche x und y Koordinaten
- » es gibt eine Maximalgeschwindigkeit v_{\max} in G
- » nimm $\sqrt{(x(t) - x(u))^2 + (y(t) - y(u))^2} / v_{\max}$ als Potential

Probleme:

- » bei jedem Abarbeiten muss zusätzlich potenziert werden \Rightarrow Overhead zur Berechnung recht groß
- » Abschätzung sehr konservativ
 - » nimmt an, dass es eine Autobahn zum Ziel gibt
 - » die zudem noch der Fluglinie folgt
- \Rightarrow praktisch keine Beschleunigung in Transportnetzen

Potentiale durch Landmarken

Idee:

- » wähle Landmarken L aus V (≈ 16)
- » berechne Distanzen von und zu allen Landmarken
- » dann gilt:

$$d(u, t) \geq d(L_1, t) - d(L_1, u)$$

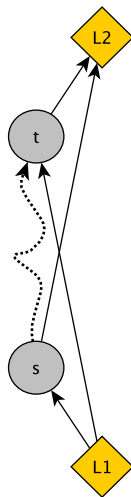
$$d(u, t) \geq d(u, L_2) - d(t, L_2)$$

für alle $u \in V$.

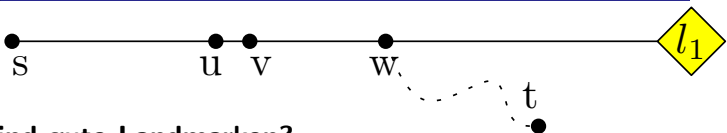
- » somit ist

$$\pi(u) = \max_{\ell \in L} \{ \max \{ d(\ell, t) - d(\ell, u), d(u, \ell) - d(t, \ell) \} \}$$

ein gültiges Potential



Eigenschaften Landmarken



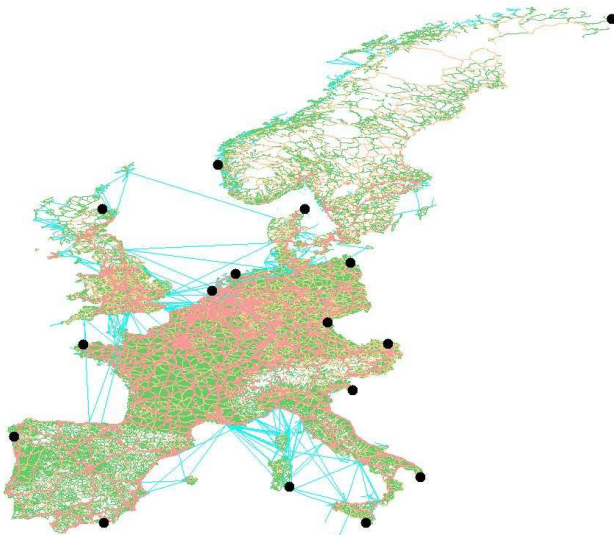
Was sind gute Landmarken?

- » $\pi(u) = d(u, l_1) - d(t, l_1)$, $\pi(v) = d(v, l_1) - d(t, l_1)$
- » also $len_\pi(u, v) = len(u, v) - d(u, l_1) + d(v, l_1) = 0$
- » gemeinsame Kanten (kürzester Weg und Weg zur Landmarke) haben reduzierte Kosten von 0

Also:

- » “gute” Landmarken überdecken viele Kanten für viele Paare
- » trifft unter anderem zu, wenn “hinter” vielen Knoten
- » Rand des Graphen

Beispiel gute Landmarken



Berechnung Landmarken

mehrere Ansätze:

» brute force: $O(n^{|L|} \cdot \underbrace{n(m + n \log n)}_{\text{all pair shortest path}})$

- + höchste Beschleunigung
- zu lange Vorberechnung

» wähle zufällig

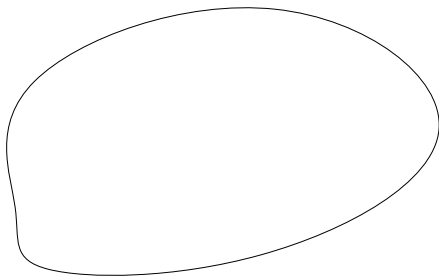
- + schnellste Vorberechnung
- schlechte Beschleunigung

» mehrere Heuristiken, die versuchen den Rand zu finden

- » planar
- » farthest
- » avoid
- » lokale Optimierung (maxCover)

Planar-Landmarken

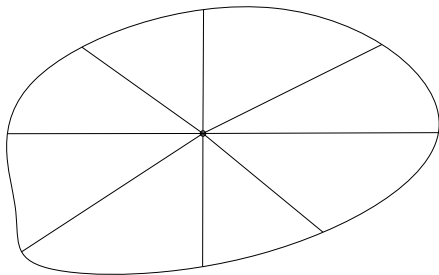
Vorgehen:



Planar-Landmarken

Vorgehen:

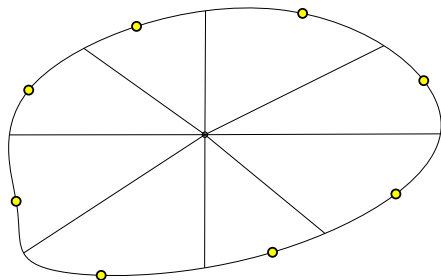
- » suche Mittelpunkt c des Graphen
- » teile Graphen in k Teile



Planar-Landmarken

Vorgehen:

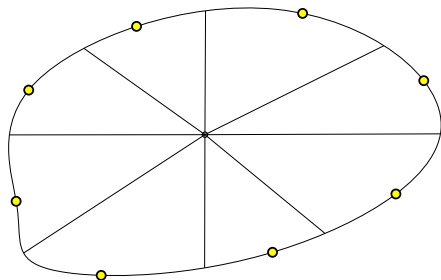
- » suche Mittelpunkt c des Graphen
- » teile Graphen in k Teile
- » in jedem Teil wähle Knoten mit maximalen Abstand zu c als Landmarke



Planar-Landmarken

Vorgehen:

- » suche Mittelpunkt c des Graphen
- » teile Graphen in k Teile
- » in jedem Teil wähle Knoten mit maximalen Abstand zu c als Landmarke



Anmerkungen:

- » benötigt planare Einbettung
- » liefert erstaunlich schlechte Ergebnisse

Farthest-Landmarken

Farthest-Landmarks(G, k)

```
1  $L \leftarrow \emptyset$ 
2 while  $|L| < k$  do
3   if  $|L| = 0$  then DIJKSTRA( $G, \text{RANDOMNODE}$ )
4   else DIJKSTRA( $G, L$ )
5    $u \leftarrow$  last settled node
6    $L \leftarrow L \cup \{u\}$ 
```

Anmerkungen:

- » Multi-Startknoten Dijkstra
- » schlecht für kleine k
- » erste Landmarke schlecht
- » weitere Landmarken massiv abhängig von erster

Avoid-Landmarken

Vorgehen:

- » berechne kürzeste Wege Baum T_r von einem Knoten r
- » $weight(u) = d(u, r) - \underline{d(u, r)}$
- » $size(u)$ Summe der Gewichte ($weight$) seiner Nachfolger in T_r
- » $size(u) = 0$ wenn mindestens ein Nachfolger in T_r eine Landmarke ist
- » w sei der Knoten mit maximaler Größe ($size$)
- » traversiere T_r startend von w , folge immer dem Knoten mit maximaler Größe
- » das erreichte Blatt wird zu L hinzugefügt

Anmerkungen:

- » Verfeinerung von Farthest Strategie

Optimierung von Landmarken

Problem:

- » konstruktive Heuristik
- » anfangs wähle Landmarken eventuell suboptimal

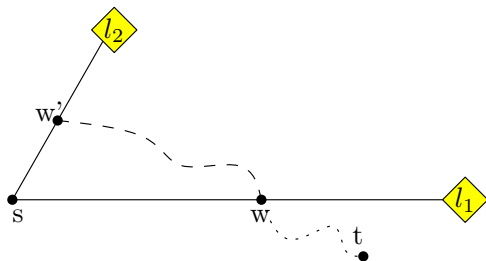
Idee:

- » lokale Optimierung
- » berechne mehr Landmarken als nötig ($\approx 4k$)
- » wähle beste durch Optimierungsfunktion, z.B.
 - » maximiere Anzahl überdeckter Kanten, d.h.
 $len(u, v) - \pi(u) + \pi(v) = 0$
 - » maximiere $\pi(s)$ für 1 Mio. $s-t$ Paare (simuliert Anfragen)
- » avoid + Funktion I wird maxCover genannt

Aktive Landmarken

Problem:

- » viele Kanten die zu einer Landmarke führen haben reduziertes Gewicht 0
- » daher: Landmarken können Suche in die falsche Richtung ziehen



Lösung:

- » wähle während Initialisierung eine Untermenge
- » diese, für die $p_f(s)$ und $p_r(t)$ maximal sind
- » die Landmarken liefern die besten Schranken und sind (hoffentlich) die besten
- » Aktualisiere die aktiven Landmarken während der Suche

Datenstruktur

Erster Ansatz:

- » $2 \cdot |L|$ 32-bit Vektoren der Größe n
- » Problem: viele Cache-Misses

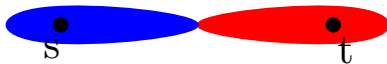
Besser:

- » 1 64-bit Vektor der Größe $|L| \cdot n$
- » speicher Distanz von und zu Landmarke in einem 64-bit integer
- » Zugriff auf Knoten mit id k und Landmarken-nummer l in Segment $l \cdot k + l$
- » dadurch deutlich erhöhte Lokalität
- » beschleunigt die Anfragezeit um ca. einen Faktor 4

Bidirektionaler A^*



Bidirektionaler A^*



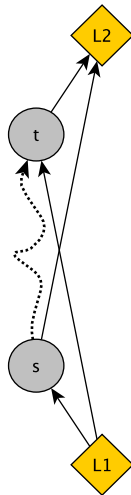
Bidirektionaler A^*

Erster Ansatz:

» benutze Vorwärtspot π_f und Rückwärtspot π_b

$$\pi_f(u) = \max_{\ell \in L} \{ \max \{ d(\ell, t) - d(\ell, u), d(u, \ell) - d(t, \ell) \} \}$$

$$\pi_b(u) = \max_{\ell \in L} \{ \max \{ d(\ell, u) - d(\ell, s), d(s, \ell) - d(u, \ell) \} \}$$



Bidirektionaler A^*

Erster Ansatz:

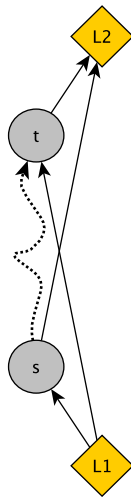
- » benutze Vorwärtspot π_f und Rückwärtspot π_b

$$\pi_f(u) = \max_{\ell \in L} \{ \max \{ d(\ell, t) - d(\ell, u), d(u, \ell) - d(t, \ell) \} \}$$

$$\pi_b(u) = \max_{\ell \in L} \{ \max \{ d(\ell, u) - d(\ell, s), d(s, \ell) - d(u, \ell) \} \}$$

Problem:

- » Suchen operieren auf unterschiedlichen Längenfunktionen
- » konservatives Abbruchkriterium:
 - » stoppe erst, wenn $\minKey(\vec{Q}) > \mu$ oder $\minKey(\overleftarrow{Q}) > \mu$



Bidirektionaler A^*

Zweiter Ansatz:

- » Wann operieren Suchen auf dem gleichen Graphen?
- » wenn

$$\begin{aligned} \text{len}_{\pi_r}(v, u) &= \text{len}_{\pi_f}(u, v) \\ \text{len}(u, v) - \pi_r(v) + \pi_r(u) &= \text{len}(u, v) - \pi_f(u) + \pi_f(v) \\ -\pi_r(v) + \pi_r(u) &= -\pi_f(u) + \pi_f(v) \\ \pi_r + \pi_f &= \text{const.} \end{aligned}$$

Bidirektionaler A^*

Idee:

- » nehme Kombination aus π_f und π_r

$$p_f = \frac{\pi_f - \pi_r}{2} \quad p_r = \frac{\pi_r - \pi_f}{2} = -p_f$$

Somit

- » wie bidirektionaler Dijkstra
- » aber mit $d(s, u) + p_f(u)$ und $d(v, t) + p_r(v)$ als keys
- » stoppe wenn $\minKey(\vec{Q}) + \minKey(\overleftarrow{Q}) > \mu_{p_f} = \mu + p_f(s) - p_f(t)$
- » dadurch bidirektional zielgerichtet

ALT [Goldberg et al. 04,05]

- » **A***, **Landmarken**, **Triangle inequality** (Dreiecksungleich)
- » bidirektionaler Landmarken- A^* (2. Ansatz)
- » aktive Landmarken
- » pruning
- » meist 16 Landmarken
- » meist avoid oder maxCover Landmarken

Experimente

Eingaben:

- » Straßennetzwerke
 - » Europa: 18 Mio. Knoten, 42 Mio. Kanten
 - » USA: 22 Mio. Knoten, 56 Mio. Kanten

Evaluation:

- » Vorberechnung in Minuten und zusätzliche Bytes pro Knoten
- » durchschnittlicher Suchraum (#abgearbeitete Knoten) und Suchzeiten (in *ms*) von 10 000 Zufallsanfragen

Zufallsanfragen

	algorithm	Prepro		Query Unidir.			Query Bidir.		
		time [min]	space [B/n]	# settled nodes	time [ms]	spd up	# settled nodes	time [ms]	spd up
EUR	Dijkstra	0	0	9 114 385	5 591.6	1.0	4 764 110	2 713.2	2.1
	ALT-4	12.1	32	1 289 070	469.1	11.9	355 442	254.1	22.0
	ALT-8	26.1	64	1 019 843	391.6	14.3	163 776	127.8	43.8
	ALT-16	851	128	815 639	327.6	17.1	74 669	53.6	104.3
	ALT-24	145.2	192	742 958	303.7	18.4	56 338	44.2	126.5
	ALT-32	27.1	256	683 566	301.4	18.6	40 945	29.4	190.2
	ALT-64	68.2	512	604 968	288.5	19.4	25 324	19.6	285.3
USA	Dijkstra	0	0	11 847 523	6 780.7	1.0	7 345 846	3 751.4	1.8
	ALT-8	44.5	64	922 897	329.8	20.6	328 140	219.6	30.9
	ALT-16	103.2	128	762 390	308.6	22.0	180 804	129.3	52.4
	ALT-32	35.8	256	628 841	291.6	23.3	109 727	79.5	85.3
	ALT-64	92.9	512	520 710	268.8	25.2	68 861	48.9	138.7



Beobachtungen

- » bidirektionale Suche: Beschleunigung von 2
- » unidirektionaler ALT: mehr als 16 Landmarken nicht sinnvoll
- » bidirektionaler ALT: verdoppelung der Landmarken halbiert den Suchraum (ungefähr)
- » 16 Landmarken: Beschleunigung ≈ 100 für Europa
- » 64 Landmarken: Beschleunigung ≈ 300 für Europa
- » hoher Speicherverbrauch (Graph-DS: 424 MB, pro Landmarke: 144 MB, Europa)
- » USA schlechter als Europa (Vermutung: schlechtere Hierarchie)

Dijkstra-Rang

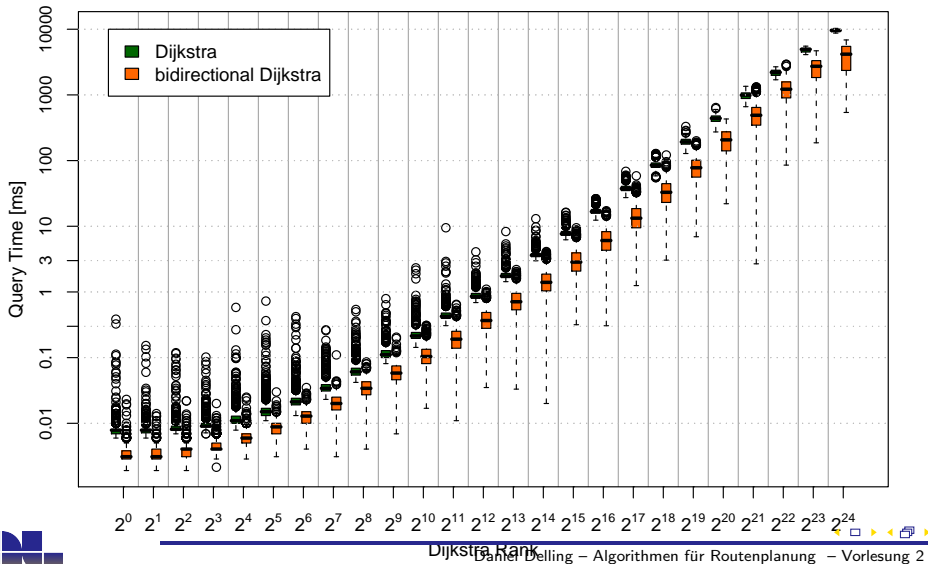
Problem:

- » Zufallsanfragen geben wenig Informationen
- » Wie ist die Varianz?
- » Werden nahe oder ferne Anfragen beschleunigt?

Idee:

- » Dijkstra definiert für gegebenen Startknoten Ordnung für auf den Knoten
- » Dijkstra-Rang $r_s(u)$ eines Knoten u für gegebenes s
- » wähle 1000 Startknoten und analysiere jeweils die Suchzeiten um die Knoten mit Rang $2^1, \dots, 2^{\log n}$ zu finden
- » zeichne Plot

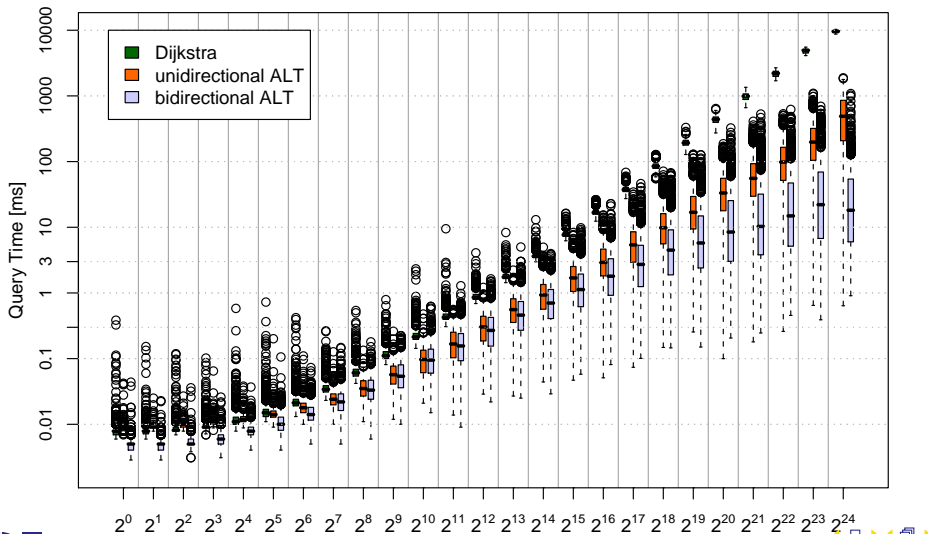
Lokale Anfragen Bidirektionale Suche



Beobachtungen

- » Ausreißer bei nahen Anfragen (vor allem unidirektional)
- » Beschleunigung unabhängig vom Rang (immer ca. Faktor 2)
- » Varianz etwas höher als bei unidirektionaler Suche
- » manche Anfragen sehr schnell

Lokale Anfragen ALT



Dijkstra Rank

Panel Delling – Algorithmen für Routenplanung – Vorlesung 2



Beobachtungen

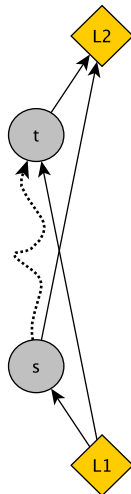
- » Beschleunigung steigt mit Rang
- » kaum Beschleunigung für nahe Anfragen
- » hohe Varianz für ALT
- » Ausreißer bis zu Faktor 100 langsamer als Median

Zusammenfassung Bidirektionale Suche

- » 2. Suche von t auf eingehenden Kanten
- » Abbruch wenn beide Suchen sich treffen
- » verschiedene Strategien, welche Suche gewählt wird
- » Suchraumreduktion abhängig von der Eingabe
 - » worst-case Suchraumvergrößerung
 - » exponentielles Wachstum in hochdimensionalen Gittern
 - » Faktor 2 in Straßennetzen

Zusammenfassung ALT

- » Zielgerichtet durch geänderte Reihenfolge, wie Knoten abgearbeitet werden
- » wird erreicht durch hinzufügen eines Knotenpotentials π
- » korrekt wenn $len(u, v) - \pi(u) + \pi(v) \geq 0$ für alle Kanten
- » Potentiale durch Landmarken
- » kann bidirektional gemacht werden
- » Beschleunigung von bis zu 300 gegenüber Dijkstra
- » aber hoher Platzverbrauch (Reduktion später)
- » hohe Varianz (manche Anfragen haben keine guten Landmarken)



Literatur

Bidirektionale Suche, A^* und ALT:

- » Andrew Goldberg, Georg Harrelson, SODA 2005
- » Andrew Goldberg, Renato Werneck, ALENEX 2005

Anmerkung:

- » wird auf der Homepage verlinkt